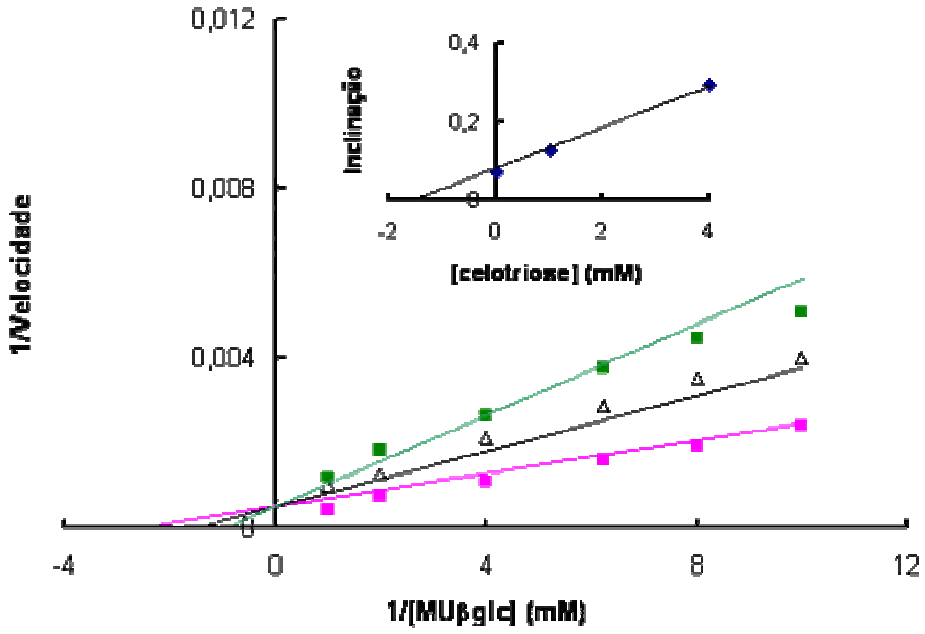

Figura 16: Inibição por celotriose da hidrólise de MUβglc pela Sfβgli50 mutante ($Y_{456}A$). Os plotes de Lineweaver-Burk foram feitos para diferentes concentrações de substrato em cada concentração do inibidor (■ = 0mM, △ = 1mM, ■ = 2mM). Inserção: replote das inclinações calculadas dos plotes de Lineweaver-Burk *versus* a concentração do inibidor.

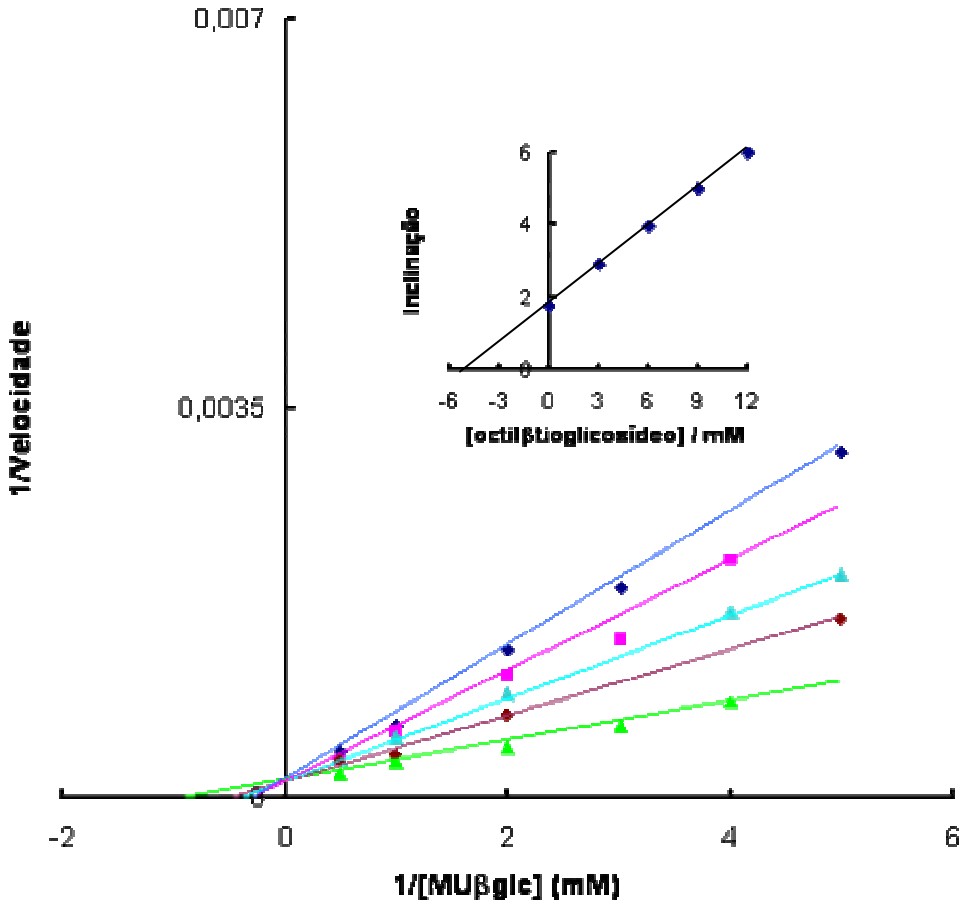

Figura 17: Inibição por octilβtioglicosídeo da hidrólise de MUβglc pela Sfβgli50 selvagem. Os plotes de Lineweaver-Burk foram feitos para diferentes concentrações de substrato em cada concentração do inibidor (◆ = 0mM, ● = 3mM, ◆ = 6mM, ■ = 9mM e ▲ = 12mM). Inserção: replote das inclinações calculadas dos plotes de Lineweaver-Burk *versus* a concentração do inibidor.

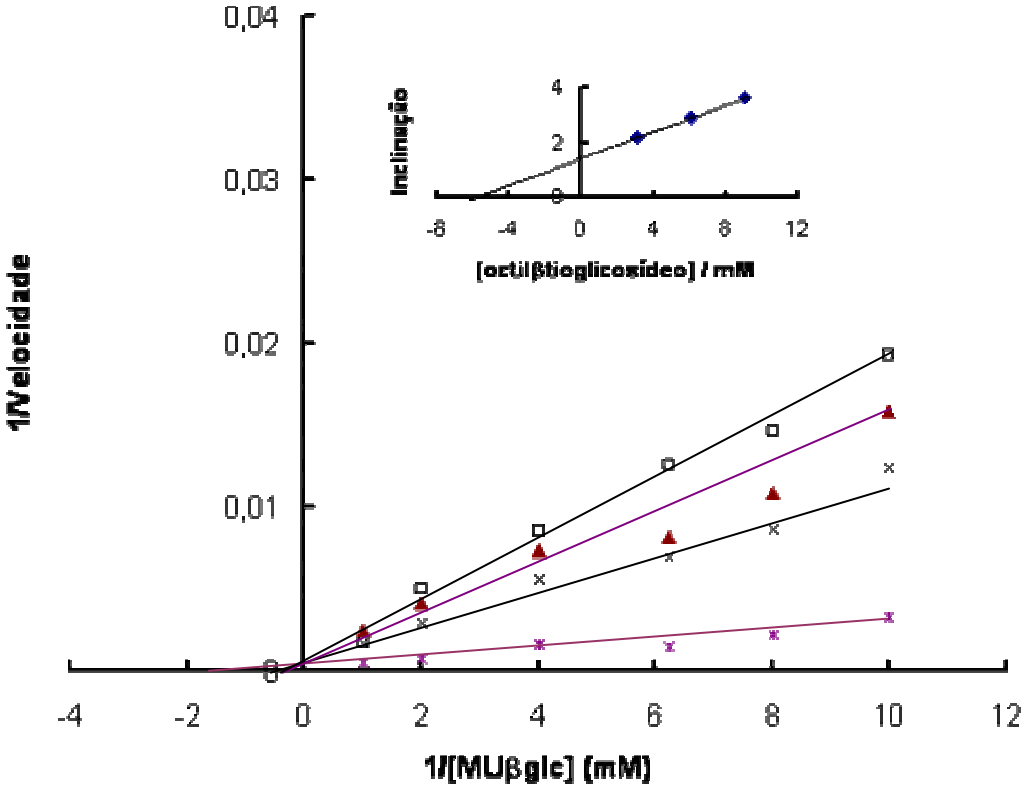

Figura 18: Inibição por octilβtioglicosídeo da hidrólise de MUβglc pela Sfβgli50 mutante ($Y_{456}A$). Os plotes de Lineweaver-Burk foram feitos para diferentes concentrações de substrato em cada concentração do inibidor (★ = 0mM, × = 6mM, ▲ = 9mM e ❑ = 12mM). Inserção: replote das inclinações calculadas dos plotes de Lineweaver-Burk *versus* a concentração do inibidor.